

УДК 548.736:546.883'161

**КРИСТАЛЛИЧЕСКИЕ СТРУКТУРЫ ГЕПТАФТОРИДОТАНТАЛАТОВ(V)
С МОНО- И ДИПРОТОНИРОВАННЫМ КАТИОНОМ 4-АМИНО-1,2,4-ТРИАЗОЛИЯ**

А.А. Удовенко, Р.Л. Давидович, В.Б. Логвинова

Институт химии ДВО РАН, Владивосток, Россия

E-mail: udovenko@ich.dvo.ru

Статья поступила 13 января 2015 г.

Определены кристаллические структуры впервые синтезированных гептафторидотанталатов(V) с моно- и дипротонированным катионом гетероциклического основания 4-амино-1,2,4-триазолия $(C_2H_5N_4)_2TaF_7$ и $(C_2H_6N_4)TaF_7 \cdot H_2O$. Ромбические кристаллы $(C_2H_5N_4)_2TaF_7$ (пр. гр. *Cm2*₁) образованы комплексными анионами $[TaF_7]^{2-}$ с конфигурацией моношапочной тригональной призмы и монопротонированными катионами $(C_2H_5N_4)^+$, один из которых статистически разупорядочен. Кристаллическая структура $(C_2H_6N_4)TaF_7 \cdot H_2O$ (пр. гр. *Pna2*₁) составлена из пентагонально-бипирамидальных комплексных анионов $[TaF_7]^{2-}$, дипротонированных катионов $(C_2H_6N_4)^{2+}$ и молекул кристаллизационной H_2O . В структуре I катионы $(C_2H_5N_4)^+$ присутствуют одновременно в виде *cis*- и *trans*-конформеров. Образование дипротонированного катиона 4-амино-1,2,4-триазолия $(C_2H_6N_4)^{2+}$ установлено впервые. Посредством ионных взаимодействий и водородных связей N—H···F, N—H···N и O—H···F структурные элементы I и II объединяются в трехмерное образование.

DOI: 10.15372/JSC20150826

Ключевые слова: гептафторидотанталат(V), кристаллическая структура, комплексный анион, 4-амино-1,2,4-триазол, моношапочная тригональная призма, пентагональная бипирамида.

Тантал со фтором образует три типа фторидотанталатов(V), содержащих комплексные анионы $[TaF_6]^-$, $[TaF_7]^{2-}$ и $[TaF_8]^{3-}$. Синтезированы и структурно исследованы многочисленные гексафторидотанталаты(V) с одно- и двухвалентными неорганическими и протонированными органическими катионами, содержащие октаэдрические комплексные анионы $[TaF_6]^-$ [1]. Сведений о гептафторидотанталатах(V) немногочисленны, а октафторидотанталаты(V) представлены одним соединением — Na_3TaF_8 [2]. Описанный недавно комплексный фторид тантала(V) K_3TaF_8 согласно рентгеноструктурному исследованию является двойной солью $K_2TaF_7 \cdot KF$ [3].

Среди гептафторидотанталатов(V) с одновалентными катионами наиболее полно, в том числе и методом рентгеноструктурного анализа, исследовано соединение K_2TaF_7 [4—7], применяемое в технологии при получении металла. Для остальных комплексных фторидов тантала(V) с одновалентными катионами Na_2TaF_7 , $Na_2TaF_7 \cdot H_2O$ [8], $Li_2TaF_7 \cdot 2H_2O$, M_2TaF_7 ($M = Rb$, Cs , NH_4) [9] получены лишь рентгенометрические данные, а для соединений $M^{II}TaF_7 \cdot 6H_2O$ ($M^{II} = Mn$, Co , Ni , Zn и Cd) определены сингония, параметры элементарной ячейки и приведены таблицы индицированных рентгенометрических данных [10]. Методом рентгеноструктурного анализа на монокристалле определены кристаллические структуры $M^{II}TaF_7$ ($M^{II} = Ca$, Sr , Ba , Pb) [11], $(enH_2)TaF_7$ [12], $(C_4H_{10}N_2H_2)TaF_7$ [13], $(trenH_4)(TaF_7)_2$ и $(trenH_4)(TaF_7)_2 \cdot H_2O$ [14], а так-

же ($\text{trenH}_3\text{TaF}_7\cdot\text{F}$) [15]. Структуры гептафторидотанталатов(V) островного типа образованы из катионов и комплексных анионов $[\text{TaF}_7]^{2-}$, имеющих конфигурацию моношапочной тригональной призмы или пентагональной бипирамиды.

В рамках систематических исследований комплексных фторидов металлов IV и V групп с протонированными катионами органических оснований, проводимых с целью выявления влияния заряда катиона и характера образуемых им водородных связей на состав и строение комплексного аниона, впервые синтезированы комплексные фториды тантала(V) с протонированными катионами гетероциклического основания 4-амино-1,2,4-триазолия. Настоящее сообщение посвящено исследованию кристаллической структуры синтезированных гептафторидотанталатов(V) сmono- и дипротонированным катионом 4-амино-1,2,4-триазолия $(\text{C}_2\text{H}_5\text{N}_4)_2\text{TaF}_7$ (**I**) и $(\text{C}_2\text{H}_6\text{N}_4)\text{TaF}_7\cdot\text{H}_2\text{O}$ (**II**).

ЭКСПЕРИМЕНТАЛЬНАЯ ЧАСТЬ

Синтез гептафторидотанталатов(V) проводили путем взаимодействия 4-амино-1,2,4-триазола $\text{C}_2\text{H}_4\text{N}_4$ с раствором $\text{Ta}(\text{OH})_5$ во фтористоводородной кислоте при мольном отношении $\text{C}_2\text{H}_4\text{N}_4:\text{Ta}(\text{OH})_5 = 2:1$. Навеску $\text{Ta}(\text{OH})_5$ (4 г), помещенную в платиновую чашку, растворяли при нагревании и перемешивании в 20 мл фтористоводородной кислоты (1:1) до полного растворения вещества. К полученному раствору добавляли рассчитанное количество 4-амино-1,2,4-триазола (2,53 г), растворенного в воде. Раствор оставляли для медленной кристаллизации при комнатной температуре. Образовавшийся через две недели кристаллический осадок отделяли от маточного раствора фильтрованием под вакуумом и сушили на воздухе в течение 2 ч.

Анализ полученных кристаллов под микроскопом показал, что они не однородные и представляют собой смесь двух типов: бесформенные многогранники и искаженные октаэдры. Определение параметров одного из типов кристаллов и последующее индицирование дифрактограммы полученных кристаллов с этими параметрами подтвердило, что они являются смесью веществ. Были отобраны кристаллы обоих типов, которые послужили для проведения рентгеноструктурного исследования. Образование смеси кристаллов гептафторидотанталатов(V) при взаимодействии 4-амино-1,2,4-триазола с раствором $\text{Ta}(\text{OH})_5$ во фтористоводородной кислоте при мольном отношении компонентов 2:1 подтверждено повторными синтезами.

Рентгеноструктурное исследование выполнено на дифрактометре Bruker KAPPA APEXII CCD (MoK_{α} -излучение, графитовый монохроматор). Сбор экспериментальных данных проведен при 296 К ω -сканированием с шагом $0,3^\circ$ в области полусферы обратного пространства со временем экспозиции 20 с на один кадр при расстоянии кристалл—детектор 45 мм. Поглощение учтено эмпирически по программе SADABS [16].

В структуре **I** один из катионов $\text{C}_2\text{H}_5\text{N}_4^+$ статистически разупорядочен. Атомы Ta и F, неводородные атомы триазольного цикла упорядоченного катиона $\text{C}_2\text{H}_5\text{N}_4^+$ определены прямым методом, а неводородные атомы триазольного цикла статистически разупорядоченного катиона определены из серии синтезов электронной плотности и уточнены с наложением стандартных ограничений в анизотропном приближении. Положение атомов водорода триазольного цикла упорядоченного катиона рассчитаны геометрически и уточнены в модели наездника, а положение атомов водорода гетероцикла разупорядоченного катиона и аммино-групп рассчитаны из геометрических соображений и не уточнялись.

Структура **II** определена прямым методом и уточнена МНК в анизотропном приближении неводородных атомов. Положение атомов водорода триазольного цикла катиона рассчитаны геометрически и включены в уточнение в модели наездника. Положение атомов H аммино-групп рассчитаны из геометрических соображений и не уточнялись, а положение атомов водорода молекулы H_2O выявлены из разностного Фурье-синтеза электронной плотности и не уточнялись.

Сбор и редактирование данных, уточнение параметров элементарной ячейки проведены в пакете программ Apex II [17]. Все расчеты по определению и уточнению структуры выполнены по программам SHELLXTL/PC [15]. Основные кристаллографические данные и детали

Таблица 1

Кристаллографические данные, параметры эксперимента и уточнения структур I и II

Параметр	I	II
Брутто-формула	C ₄ H ₁₀ F ₇ N ₈ Ta	C ₂ H ₈ F ₇ N ₄ OTa
Молекулярная масса	484,15	418,07
Температура, К	296(2)	296(2)
Длина волны, Å	MoK _α (0,71073)	MoK _α (0,71073)
Сингония	Ромбическая	Ромбическая
Пространственная группа	<i>Cmc2</i> ₁	<i>Pna2</i> ₁
<i>a</i> , <i>b</i> , <i>c</i> , Å	7,9749(6), 13,4113(8), 11,2764(7)	16,3707(4), 7,9822(2), 7,3815(2)
<i>V</i> , Å ³	1206,0(1)	964,57(4)
<i>Z</i>	4	4
<i>d</i> _{выч} , Г/см ³	2,666	2,879
μ , мм ⁻¹	9,210	11,487
<i>F</i> (000)	904	768
Форма и размеры кристалла, мм	Призма 0,25×0,20×0,18	Октаэдр 0,33×0,30×0,30
Область сбора данных по θ , град.	1,81—43,05	1,24—36,77
Измер. / независ. отражений	19901 / 4505 [<i>R</i> (int) = 0,0225]	36222 / 4831 [<i>R</i> (int) = 0,0244]
Отражений с $I > 2\sigma(I)$	3878	3842
Переменных уточнения	131	138
GOOF	1,026	1,105
<i>R</i> -фактор по $F^2 > 2\sigma(F^2)$	$R_1 = 0,0325$, <i>wR</i> 2 = 0,0944	$R_1 = 0,0283$, <i>wR</i> 2 = 0,0678
<i>R</i> -фактор по всем отражениям	$R_1 = 0,0386$, <i>wR</i> 2 = 0,0998	$R_1 = 0,0408$, <i>wR</i> 2 = 0,0750
Остаточная электронная плотность (max / min), е/Å ³	1,887 / -1,207	1,118 / -3,912

уточнения кристаллических структур I и II приведены в табл. 1. Длины связей и валентные углы приведены в табл. 2, параметры водородных связей — в табл. 3. CIF-файлы, содержащие полную информацию по исследованным структурам, депонированы в CCDC под 1038576 и 1038577, откуда могут быть свободно получены по запросу на интернет-сайте www.ccdc.cam.ac.uk/data_request/cif.

РЕЗУЛЬТАТЫ И ИХ ОБСУЖДЕНИЕ

Состав синтезированных гептафторидотанталатов(V) 4-амино-1,2,4-триазолия ($C_2H_5N_4$)₂TaF₇ (I) и ($C_2H_6N_4$)TaF₇·H₂O (II) установлен методом рентгеноструктурного анализа. Кристаллическая структура I (ромбическая сингония: $a = 7,9749(6)$, $b = 13,4113(8)$, $c = 11,2764(7)$ Å, $Z = 4$, пр. гр. *Cmc2*₁) образована комплексными анионами [TaF₇]²⁻ и монопротонированными катионами ($C_2H_5N_4$)⁺, один из которых статистически разупорядочен. Атом Ta, окруженный семью атомами F, образует координационный полигон TaF₇, имеющий конфигурацию моношапочной тригональной призмы (3:3:1 координация, см. табл. 2) с шапочным атомом фтора, центрирующим одну из прямоугольных граней (рис. 1). Аналогичные по конфигурации координационные полигоны атома Ta содержатся в кристаллических структурах K₂TaF₇ [3, 4], (trenH₄)(TaF₇)₂·H₂O [12], а также в структуре (trenH₃)TaF₇·F [13].

Рис. 1. Строение моношапочного тригонально-призматического комплексного аниона [TaF₇]²⁻ в структуре I

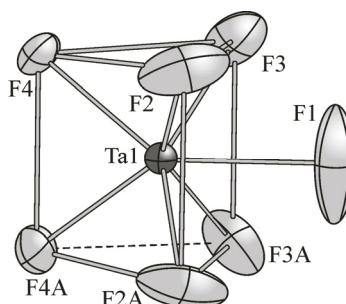


Таблица 2

Длины связей (d , Å) и валентные углы (ω , град.) в структурах I и II

Связь	d	Угол	ω	Связь	d	Угол	ω
I				II			
Ta—F(1)	2,024(2)	F(1)TaF(2)×2	76,9(1)	Ta—F(1)	1,895(3)	F(1)TaF(2)	178,6(4)
Ta—F(2)×2	1,859(2)	F(1)TaF(3)×2	70,7(1)	Ta—F(2)	1,890(3)	F(1)TaF(3)	98,1(1)
Ta—F(3)×2	1,999(1)	F(2)TaF(3)×2	91,4(1)	Ta—F(3)	1,953(3)	F(1)TaF(4)	80,9(4)
Ta—F(4)×2	1,889(1)	F(2)TaF(2A)	86,2(1)	Ta—F(4)	1,957(6)	F(1)TaF(5)	89,8(3)
C(1)—N(1)	1,295(2)	F(3)TaF(3A)	73,3(1)	Ta—F(5)	1,992(6)	F(1)TaF(6)	93,4(4)
C(1)—N(3)	1,333(2)	F(2)TaF(4)×2	81,8(1)	Ta—F(6)	1,914(7)	F(1)TaF(7)	85,9(4)
N(2)—N(1)	1,359(3)	F(3)TaF(4)×2	78,2(1)	Ta—F(7)	2,001(9)	F(2)TaF(3)	83,0(1)
N(2)—C(2)	1,290(3)	F(4)TaF(4A)	74,7(2)	C(1)—N(1)	1,260(17)	F(2)TaF(4)	98,7(4)
C(2)—N(3)	1,347(2)	N(1)C(1)N(3)	106,7(2)	C(1)—N(3)	1,372(7)	F(2)TaF(5)	88,7(3)
N(3)—N(4)	1,395(2)	C(1)N(1)N(2)	110,9(2)	N(1)—N(2)	1,374(8)	F(2)TaF(6)	86,1(4)
C(3)—N(5)	1,295(3)	N(1)N(2)C(2)	105,0(2)	C(2)—N(2)	1,270(8)	F(2)TaF(7)	95,2(5)
C(3)—N(7)	1,356(2)	N(2)C(2)N(3)	110,3(2)	C(2)—N(3)	1,357(9)	F(3)TaF(4)	67,9(4)
N(6)—N(5)	1,344(3)	C(2)N(3)C(1)	107,1(1)	N(3)—N(4)	1,416(7)	F(4)TaF(5)	73,4(3)
N(6)—C(4)	1,261(3)	C(2)N(3)N(4)	125,0(2)	O—H(6)	0,90(1)	F(5)TaF(6)	71,6(1)
C(4)—N(7)	1,347(3)	C(1)N(3)N(4)	127,9(2)	O—H(7)	0,89(1)	F(6)TaF(7)	71,1(4)
N(7)—N(8)	1,423(3)	N(5)C(3)N(7)	102,3(2)			F(7)TaF(3)	79,3(5)
		C(3)N(5)N(6)	111,0(2)			N(1)C(1)N(3)	106,0(1)
		N(5)N(6)C(4)	109,7(2)			C(1)N(1)N(2)	113,0(6)
		N(6)C(4)N(7)	105,0(2)			N(1)N(2)C(2)	103,8(6)
		C(4)N(7)C(3)	111,5(2)			N(2)C(2)N(3)	111,8(6)
		C(4)N(7)N(8)	125,9(2)			C(2)N(3)C(1)	105,4(7)
		C(3)N(7)N(8)	120,9(2)			C(2)N(3)N(4)	131,7(5)
						C(1)N(3)N(4)	122,8(8)

Длины связей Ta—F в основаниях тригональной призмы координационного полиэдра TaF_7 структуры I лежат в интервале 1,859(2)–1,999(1) Å. Шапочный атом F(1) удален от атома Та на несколько большее расстояние — 2,024(2) Å, что обусловлено участием этого атома в образовании сравнительно сильной водородной связи (N(5)—H(7)···F(1) 2,797(2) Å, см. табл. 3). Сходные по величине расстояния Та—F содержатся в исследованных кристаллических структурах $(\text{trenH}_4)(\text{TaF}_7)_2 \cdot \text{H}_2\text{O}$ (1,894(7)–2,019(7) Å), $(\text{trenH}_3)(\text{TaF}_7) \cdot \text{F}$ (1,937(2)–1,966(6) Å) и K_2TaF_7 (1,919(3)–1,976(2) Å).

В структуре I катионы $(\text{C}_2\text{H}_5\text{N}_4)^+$ протонированы по атому азота в положении 1 (рис. 2). Один из двух катионов $(\text{C}_2\text{H}_5\text{N}_4)^+$ статистически разупорядочен с фактором заселенности 0,5.

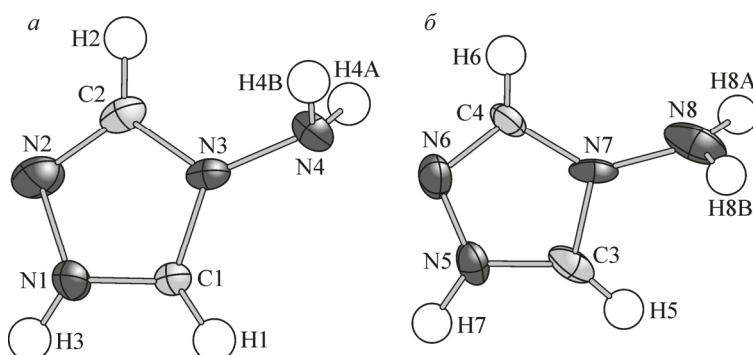


Рис. 2. Строение монопротонированных катионов $(\text{C}_2\text{H}_5\text{N}_4)^+$: транс-конформер (a), цис-конформер (b) в структуре I

Таблица 3

Геометрические параметры водородных связей в структурах I и II

Связь D—H···A	Расстояние, Å			Угол DHA, град.
	D···H	H···A	D···A	
I				
N(5)—H(7)···F(1) ^a	0,99	1,83	2,797(2)	163
N(8)—H(8A)···N(6) ^b	0,86	2,57	3,306(4)	144
N(8)—H(8B)···F(3) ^c	0,95	2,38	3,090(3)	131
N(4)—H(4A)···N(5) ^d	0,89	2,49	3,347(2)	162
N(4)—H(4B)···N(5) ^d	0,89	2,49	3,347(2)	162
II				
N(1)—H(3)···F(4) ^d	0,86	1,78	2,630(5)	169
N(4)—H(5A)···F(4) ^e	0,90	2,52	3,226(6)	136
N(4)—H(5B)···F(6) ^f	0,90	2,23	3,113(6)	167
O(1)—H(7)···F(5) ^h	0,89	2,25	2,987(4)	140
O(1)—H(7)···F(6) ^h	0,89	2,26	3,046(5)	146

* Коды симметрии: ^a x, y, z+1; ^b -x+2, -y+1, z-1/2; ^c -x +3/2, y+1/2, z+1; ^d x, y-1, z; ^e -x+1, -y+1, z-1/2; ^f x, y, z-1; ^g 3/2-x, 1/2+y, -1/2+z; ^h 3/2-x, 1/2y, -1/2+z.

В зависимости от пространственной ориентацией атомов водорода NH₂-групп по отношению к позиции протонированного атома N триазольного кольца катионы (C₂H₅N₄)⁺ образуют два типа конформеров, обозначенные *цик* и *транс* [18]. В *цик*-конформере атомы водорода группы NH₂ ориентированы в направлении протонированного атома азота N, а в *транс*-конформере — в противоположном направлении. В структуре I упорядоченный катион (см. рис. 2, a) представляет собой *транс*-конформер, а разупорядоченный катион (см. рис. 2, б) — *цик*-конформер.

Средние значения длин связей C=N, C—N, N—N и N—NH₂ в триазольном кольце обоих катионов (C₂H₅N₄)⁺ структуры I, за исключением одной связи C=N в разупорядоченном катионе (1,261(3) против 1,295(3) Å), весьма близкие (см. табл. 2) и равны соответственно 1,292(3) (1,306(4)) (катион (a), см. рис. 2), 1,346(3) (1,348(4)), 1,352(3) (1,370(4)) и 1,409(3) (1,409(4)) Å. В скобках приведены средние значения длин соответствующих связей [19] в структурах 13 соединений с монопротонированным катионом (C₂H₅N₄)⁺, приведенных в базе CSD [20].

Кристаллическая структура II, как и структура I, островного типа. Она составлена из комплексных анионов [TaF₇]²⁻, дипротонированных катионов (C₂H₆N₄)²⁺ и молекул кристаллизационной H₂O. В отличие от структуры I, в которой координационный полиэдр атома Та представляет собой моношапочную тригональную призму, полиэдр TaF₇ в структуре II имеет искаженную пентагонально-бипирамидальную геометрию (рис. 3). Длины связей Ta—F в пентагональной бипирамиде TaF₇ лежат в интервале 1,895(3)–2,001(9) Å, что находится в согласии с литературными данными. В структуре (trenH₄)(TaF₇)₂ [14] (полиэдр атома Та(2)) длины связей Та—F изменяются от 1,89(2) до 2,01(1) Å, а в пентагонально-бипирамидальном полигидре TaF₇ в структурах (enH₂)TaF₇ [12] и (C₄H₁₀N₂H₂)TaF₇ [13] они лежат в интервале 1,900(1)–2,005(2) и 1,906(1)–1,996(2) Å соответственно.

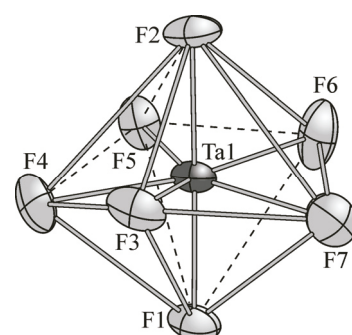
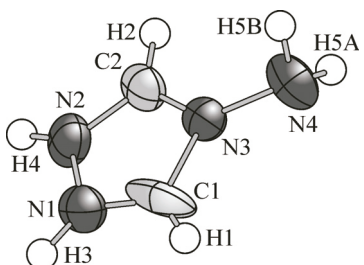


Рис. 3. Строение пентагонально-бипирамидального комплексного аниона [TaF₇]²⁻ в структуре II

Рис. 4. Строение дипротонированного катиона $(C_2H_6N_4)^{2+}$ в структуре II

Апикальные атомы F в полиэдре TaF_7 структуры II отстоят от атома Ta на более короткое расстояние (1,890(3), 1,895(3) Å), чем экваториальные атомы (1,914(7)—2,001(9) Å, см. табл. 2). Указанные длины связей находятся в согласии с таковыми в исследованных структурах гептафторидотанталатов [12—14].

В двухвалентном катионе $(C_2H_6N_4)^{2+}$ структуры II протонированы оба аминных атома азота, на которых сосредоточены положительные заряды (рис. 4). Протонирование свободного аминного атома азота в катионе $(C_2H_5N_4)^+$ с образованием дипротонированного катиона $(C_2H_6N_4)^{2+}$ приводит к существенному изменению длин связей в гетероцикле. Длины двойных связей C=N в $(C_2H_6N_4)^{2+}$ по сравнению с соответствующими длинами связей в монопротонированном катионе уменьшаются на 0,02—0,03 Å, а длины связей C—N, N—N и N—NH₂ увеличиваются на 0,01—0,04 Å (см. табл. 2).

В структурах I и II катионы вовлечены в образование водородных связей с атомами F комплексного аниона $[TaF_7]^{2-}$ (см. табл. 3). Наиболее прочные водородные связи образуют группа N(5)—H(7) разупорядоченного катиона $(C_2H_5N_4)^+$ структуры I (N(5)—H(7)···F(1) 2,797(2) Å) и группа N(1)—H(3) катиона $(C_2H_6N_4)^{2+}$ структуры II (N(1)—H(3)···F(4) 2,630(5) Å). Водородные связи, образованные группами NH₂ в обеих структурах, весьма слабые и более 3,0 Å. Слабые водородные связи O(1)—H(7)···F образуют также кристаллизационная молекула H₂O (см. табл. 3). Водородными связями и ионными взаимодействиями катионы и комплексные анионы в структурах I и II объединяются в трехмерное образование.

Исследованы кристаллические структуры впервые синтезированных комплексных фторидов тантала(V) $(C_2H_5N_4)_2TaF_7$ и $(C_2H_6N_4)TaF_7 \cdot H_2O$ сmono- и дипротонированным катионом гетероциклического основания 4-амино-1,2,4-триазолия. Образование дипротонированного катиона 4-амино-1,2,4-триазолия $(C_2H_6N_4)^{2+}$ установлено впервые.

СПИСОК ЛИТЕРАТУРЫ

1. Agulyansky A. The Chemistry of Tantalum and Niobium Fluoride Compounds. – Amsterdam: Elsevier, 2004.
2. Hoard J.L., Martin W.J., Smith M.E., Whitney J.F. // J. Am. Chem. Soc. – 1954. – **76**, N 14. – P. 3820 – 3823.
3. Smrčok L., Černý R., Boča M., Macková I., Kubíková B. // Acta Crystallogr. – 2010. – **C66**, N 2. – P. i16 – i18.
4. Hoard J.L. // J. Am. Chem. Soc. – 1939. – **61**, N 5. – P. 1252 – 1259.
5. English R.B., Heyns A.M., Reynhardt E.C. // J. Phys. C: Solid State Phys. – 1983. – **16**, N 5. – P. 829 – 840.
6. Torardi C.C., Brixner L.H., Blasse G. // J. Solid State Chem. – 1987. – **67**, N 1. – P. 21 – 25.
7. Agulyansky A. // J. Fluor. Chem. – 2003. – **123**, N 2. – P. 155 – 161.
8. Eberts R.E., Pink F.X. // J. Inorg. Nucl. Chem. – 1968. – **30**, N 2. – P. 457 – 462.
9. Давидович Р.Л., Кайдайлова Т.А., Левчихина Т.Ф., Сергиенко В.И. // Атлас инфракрасных спектров поглощения и рентгенометрических данных комплексных фторидов металлов IV и V групп. – М.: Наука, 1972.
10. Davidovich R.L., Levchishina T.F., Kaidailova T.A., Sergienko V.I. // J. Less-Common. Metals. – 1972. – **27**, N 1 – P. 35 – 43.
11. Bunić T., Tramšek M., Goreshnik E., Žemva B. // Solid State Sci. – 2007. – **9**, N 1. – P. 88 – 94.
12. Lu H., Gautier R., Donakowski M.D., Fuoco L., Liu Z., Poepelmeier K.R. // Cryst. Growth. Des. – 2014. – **14**, N 2. – P. 844 – 850.
13. Feng Y., Meng Z., Huang Q., Qiu D., Shi H. // Inorg. Chem. Commun. – 2010. – **13**. – P. 1118 – 1121.
14. Saada M.A., Hémon-Ribaud A., Smiri L.S., Leblanc M., Maisonneuve V. // J. Fluor. Chem. – 2005. – **126**, N 8. – P. 1246 – 1251.
15. Goreshnik E., Leblanc M., Maisonneuve V. // J. Solid State Chem. – 2004. – **177**, N 11. – P. 4023 – 4030.
16. Bruker. APEX II. Bruker AXS Inc., Madison, Wisconsin, USA, 2005.
17. Sheldrick G.M. // Acta Crystallogr. – 2008. – **A64**, N 1. – P. 112 – 122.
18. Daszkiewicz M., Marchewka M.K. // J. Mol. Struct. – 2012. – **1017**. – C. 90 – 97.
19. Герасименко А.В., Давидович Р.Л., Пушкин М.А., Логвинова В.Б. // Журн. структур. химии. – 2015. – **56**, № 8. – С. 1648 – 1656.
20. Allen F.H. // Acta Crystallogr. – 2002. – **B58**, N 3. – P. 380 – 388.